

УДК: 606:577.213:632.3:633.63

ПЛР ІДЕНТИФІКАЦІЯ РНК-3 УКРАЇНСЬКОГО ІЗОЛЯТУ ВІРУСУ НЕКРОТИЧНОГО ПОЖОВТІННЯ ЖИЛОК БУРЯКУ

К. В. ГРИНЧУК, аспірантка¹

I. О. АНТІПОВ, кандидат сільськогосподарських наук

Проведено біоінформативний аналіз нуклеотидних послідовностей РНК-3 ізолятів вірусу некротичного пожовтіння жилок буряку (ВНПЖБ). Встановлено консервативні послідовності гена, що кодує протеїн Р25 ВНПЖБ та розроблено дизайн праймерів для ідентифікації РНК-3. Оптимізовано ПЛР систему ідентифікації РНК-3 за температурними показниками відпалу праймерів.

Ключові слова: вірус некротичного пожовтіння жилок буряку, полімеразна ланцюгова реакція, ідентифікація, ген, праймер

Вірус некротичного пожовтіння жилок буряку (Родина *Benyvirus*) (+) РНК вмісний вірус з мультипартидним геномом, містить РНК-1, РНК-2, РНК-3, РНК-4, у деяких випадках РНК-5 [4, 6]. ВНПЖБ призводить до проліферації корінців від головного кореня, зменшення розміру коренеплоду і пожовтіння жилок листка. РНК-3 ВНПЖБ довжиною 1175 нуклеотидів, за винятком Poly(A)-хвоста, кодує протеїн 25 кДа (Р25, положення 445-1102 н.) і є важливим для формування симптомів ураження рослин [1].

На експериментальних рослинах *Chenopodium quinoa* РНК-3 формує локальні некрози. На інокульованих чутливих рослинах та частково стійких сортах буряку за наявності РНК-3 спостерігається формування локальних некрозів [5]. Ізоляти ВНПЖБ, які мають РНК-3 містять більш виражені локальні ураження тоді, коли за відсутності РНК-3 на рослинах спостерігаються слабші

¹ Науковий керівник – кандидат сільськогосподарських наук, доцент I. O. Антіпов

симптоми ураження. РНК-3 виконує функцію мультиплікації та руху вірусу в коренях коренеплоду [2, 3].

Мета дослідження. Розробка ПЛР-системи для ідентифікації РНК-3 вірусу некротичного пожовтіння жилок буряку.

Матеріали і методи дослідження. Для пошуку нуклеотидних послідовностей РНК-3 та проведення біоінформативного аналізу було використано базу даних NCBI (National Center for Biotechnological Information) [9]. Біоінформативний аналіз геномів проводили, використовуючи програмне забезпечення «MultAline» (Multiple sequence alignment) [7]. Дизайн праймерів розробляли, використовуючи програмне забезпечення «Primer3» [8].

Екстракцію РНК здійснювали з використанням комерційного набору «РИБО-Сорб» (AmpliSens, Росія), реакцію зворотної транскрипції – за допомогою комерційного набору «Реверта-L-100» (AmpliSens, Росія), згідно з рекомендаціями виробника.

Реакційна суміш для проведення полімеразної ланцюгової реакції (ПЛР), об'ємом 15 мкл містила: 1x ПЛР буфер з 1,5 мМ MgCl₂ (AmpliSens, Росія), 0,2 мМ дезоксинуклеозидтрифосфатів (дНТФ) (AmpliSens, Росія), 1 пкмоль кожного з олігонуклеотидних праймерів, 10-40 нг кДНК, 0,5 У Таq-полімерази (AmpliSens, Росія). Реакцію ампліфікації проводили в ДНК-ампліфікаторі «Терцик» ТП4-ПЦР-01.

Після ампліфікації продукти ПЛР розділяли методом горизонтального електрофорезу в 1,5%-ному агарозному гелі, який готовили, використовуючи ТВЕ буфер з концентрацією 0,5 мг/мл броміду етидію. Результати ПЛР візуалізували УФ променями трансілюмінатора (T-312-C), фотографували, використовуючи цифровий фотоапарат “Sony” (DSLR A-500).

Результати дослідження. Проведено вирівнювання нуклеотидних послідовностей РНК-3 ВНПЖБ. До аналізу залучили 266 фрагментів нуклеотидних послідовностей РНК-3 ВНПЖБ, які зареєстровано в системі

генетичної бази даних NCBI. На основі аналізу побудовано консенсусну нуклеотидну послідовність повнорозмірної РНК-3 ВНПЖБ (рис.1). Показано консервативні (заглавні літери) та поліморфні (великі літери) фрагменти геномної РНК-3 ВНПЖБ. Суворо консервативні фрагменти відбирали для подальшого дизайну відповідних праймерів. Поліморфні ділянки геному виключалися з аналізу. Таким чином забезпечується створення універсальної системи ідентифікації РНК-3 існуючих патотипів та можливих ізолятів ВНПЖБ.

```

AAATTCAAAA TTTACCATT A CATATTGGTA TtTATTTACC CTCAGTTGGT GATATATGTG AGGACGCTAG
CCTGTTGGGT TTCCTGACCG ACCAAATCCA AGCGAGCTTA ATCCAAGTAC CTCGTCTCAA ATTGAGTGTC
AAGTGAATAA GCATAGTGAC cCCATCGTT CAGGGTAGTT gACGGCTATT AATAGAcATA tTACaAACGC
TTCTCTTAT TTATCaCCAA CATGGGATGT AATGTTTATG CGTGAGCcTA CGGCCGCATT GTAAAATTAG
TGGTTTTGAA TTTCTATTCT tCGGAATATA CAAGGTTAA AAGACCAgCa TTTGGGTTAA AAATTTTAA
ACCTTACTAT CttTAACTAG tAACTcGAAC TCGATTATA TTCAGATTTT aaataTCaaG TTGTTGTGTT
tTCTGAtCAT CATTAAAGTGA CCGtCATGGG TGATATATTA GGCGCAGTTT ATGATTTAGG GCACAGACCT
TACCTAGCAC GGCGTAcGGT TTATGAGGAT CGTTGATTC TTAGcACAcA TGTAATatTC TGTGCGCTA
TTAACTTGtT AACTCACGAT AATCGtACTa CACTGGTGTa TCACAATAAT ACTAAACGCA TAAGGTTTCG
TGGATTATTG TGTgcTtaTC aTggGCCTTA TTGTGGGTTT CGTGCCTTAT GTAGAGTAAT GTTATGTTct
cTACCTCGTT TGTGTgACAT CCCTATCAAT GGATCTCgCG aCTTTGTTGc aGATCCTACC AGACTCGACA
GCTCTGtTAA TGAGTTGCTG GTTTCTAatG GTCTCGTCAT CCACTATGAT CGTGTtCATc ATGtTCCCTt
ACAcACTGAT GGTTtTGAAG TTGTAGATTT cACGACTGTC TTtCGTGGTC CtGGAAactT TCTTTGCCT
AATGCAACAA ATTTCCCTCG GcCaACCACA ACCGATCAGG TTTACATGGT gTGTGTTGgTA AACACGGTTa
ATTGTGTGTT ACGTTTTgAG TCCgAActTa cAGTGTGGT TCACCTCGGT TTGTATAcAG GtGATGTTTT
AGATGTGGAT AATAATGTTA TTCAAGCCCC TGacGGGTGTT GATGATgATG aTTAGAGTTa TCACAATTTC
AACAAACACAC TTtTGGGTGT GTTGTCTGT TACACCATTG GAAAGTTAA TAATTgtCTC AaTtCGATTG
TTGATCTGGT TGGGACAATT ATTTTATTTT CTTTGGTgt AATCGTCCGA AGACGTTAAA CTACACGTGA
TTTCACGGTG TTGGATGAGA AGATTGTTA ACGGTGTTAC GTTGTgtAcc TTTAAGCTT CTTCTCaTTT
tACCACATGT GATGATTGTA GCCTGTGGGT tGTTATGTGG ACAATTATGG TTACTTATTT GTAAAtGaTA
AAGAGTGTGc gGTAGCcGAC TTTATgCGAG TGGGAGTAGT TGTGTTATTA CTACTATTCT GGTTtCGTATA
AAGATCCTTG ACGGCGGCAT CGTGGGTTC ACAGCCGGTT ACATGgGTGTT CCCGTCCGTT TACGAAGGTT
TAACTGTGAG CCTTGTATTT TACAAATACA CAGTTTTAT CTTAACAGGC TCGTTCACAA GCCTCCTTTT
ACATTAAGTT TAAAGGTTA TGTGGACACA AAAATATGGC TTATTGGTTA TGCTAAACCT CATATCATGT
TATAatATTc GTTtcATaTT ATAATTAAGG tTAAGATGTA CTGactGGGT GtGAAATGTA CCAGTCCTTG
TAGGGTTCTT TGTCAAGTATA TTGACAAAAA AAAAAAAAAA

```

Рис.1. Консенсусна послідовність РНК-3

Створено дизайн праймерів з оптимальними характеристиками. Для синтезу було обрано праймери Forward 5'- TGTGGGTTCTCGTGCCTTATG -3' та Reverse 5'- CGTCAGGGGCTTGAATAACATT-3' з назвами відповідно P25-F та P25-R. Розрахункова оптимальна температура відпалу становить для Forward праймеру 58,47⁰ С, а для Reverse праймеру 58,98⁰ С, вміст дезоксигуанозин-5'-фосфату та

дезоксицитидин-5'-фосфату становить для Forward праймеру 50%, та для Reverse 45,45%, що є оптимальним показником (табл. 1).

1. Молекулярно-біологічні характеристики праймерів для ідентифікації гена Р25 українського ізоляту ВНПЖБ

Ген	Положен- ня на матриці	Нуклеотидна послідовність 5'-3'	Кількі- сть нуклео- -тидів	Темпе- ратура відпалу, °C	GC- склад, %	Розмір проду- кту, п.н.
P25	Forward	tgtgggttcgtgccttag	20	58,47	50,00	424
	Reverse	cgtcaggggcttgaataacatt	22	58,98	45,45	

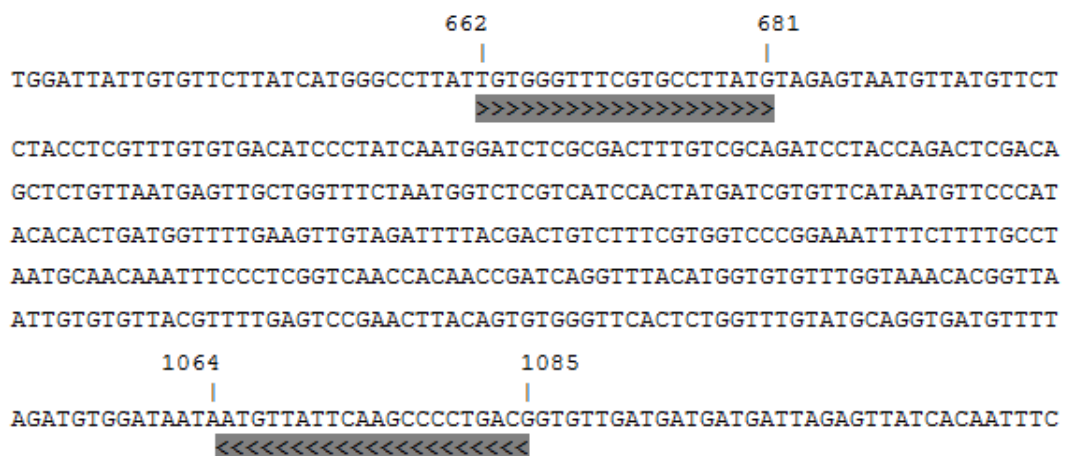


Рис. 2. Локалізація ділянок гібридизації праймерів на ДНК матриці консенсусної послідовності гена Р25 ВНПЖБ

Полімерну ланцюгову реакцію проводили з використанням кДНК українського ізоляту ВНПЖБ за таких умов: початкова денатурація 5 хв – 94⁰ С; 30 циклів: денатурація 30 с – 94⁰ С, відпал праймерів 30 с – 60⁰ С, елонгація 30 с – 72⁰ С, заключний синтез 72⁰ С – 7 хв.

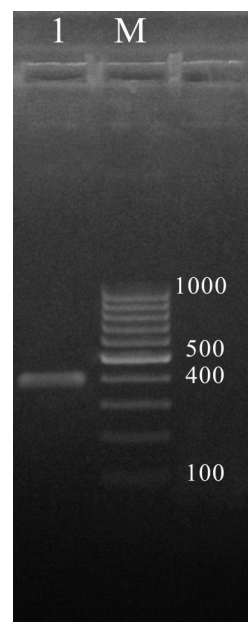


Рис. 3. Електрофорограмма продукту ПЛР аналізу визначення РНК-3 ВНПЖБ: М (GeneRuler 10 bp DNA Lader 0241) – маркер довжин фрагментів (пари нуклеотидів)

У результаті візуалізації ПЛР продуктів ампліфікації виявлено фрагменти розміром 424 пари нуклеотидів. Наявність на електрофорограммі очікуваного продукту реакції свідчить, що розроблена система ідентифікації РНК-3 ВНПЖБ є ефективною (рис.3). На наступному етапі дослідження нам належало підібрати робочі температури відпалу праймерів. Здійснювали серію реакцій з різними температурними режимами відпалу праймерів від 50^0C до 64^0C . ПЛР проводили за таких умов: початкова денатурація 5 хв – 94^0C ; 20 циклів: денатурація 30 с – 94^0C , відпал праймерів 30 с – 50^0C – 64^0C , елонгація 30 с – 72^0C , заключний синтез 72^0C – 7 хв.

Хоча температурний режим відпалу праймерів на ефективність реакції ампліфікації суттєво не впливав, нами було встановлено, що більш оптимальна температура знаходиться в межах 50^0C – 60^0C .

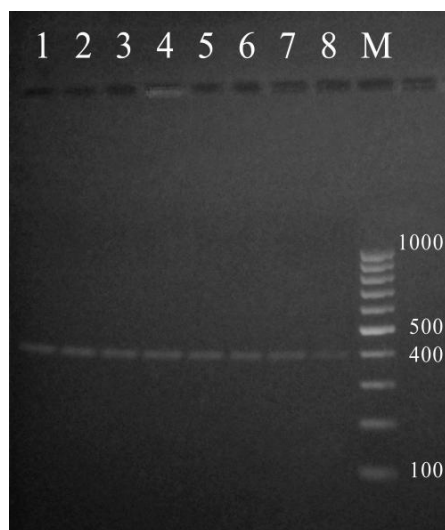


Рис. 4. Електрофореграмма оптимізації температури відпалу праймерів для ідентифікації гена P25: 1 – 50⁰ C, 2 – 52⁰ C, 3 – 54⁰ C, 4 – 56⁰ C, 5 – 58⁰ C, 6 – 60⁰ C, 7 – 62⁰ C, 8 – 64⁰ C, M (GeneRuler 10 bp DNA Lader 0241) – маркер довжин фрагментів (пар нуклеотидів)

За цих умов неспецифічних продуктів ампліфікації не спостерігали, а кількість ампліконів була достатньою для чіткої візуалізації в агарозному гелі (рис.4).

Висновки. 1. Проведено біоінформативний аналіз нуклеотидних послідовностей РНК-3 ізолятів вірусу некротичного пожовтіння жилок буряку (ВНПЖБ). 2. Показано консервативні послідовності гена, що кодує протеїн P25 ВНПЖБ та здійснено дизайн праймерів для ідентифікації РНК-3 ВНПЖБ. 3. Оптимізовано ПЛР систему ідентифікації РНК-3 ВНПЖБ за температурними показниками відпалу праймерів.

Список літератури

1. cDNAs of beet necrotic yellow vein virus RNAs 3 and 4 are rendered biologically active in a plasmid containing the cauliflower mosaic virus 35S promoter / Commandeur U., Jarausch W., LI Y., Koenig R. [et al] // Virology. – 1991. – №185. – P.493 – 495.

2. Effect of recombinant beet necrotic yellow vein virus with different RNA compositions on mechanically inoculated sugarbeets. / Koenig, R., Jarausch, W., LI. Y., [et al] // J. Gen. Virol. – 1991. – № 72. – P. 2243 – 2246.
3. Koenig R. Mechanical inoculation of sugarbeet roots with isolates of beet necrotic yellow vein virus having different RNA compositions / R. Koenig, W. Burgermeister // J. Phytopathol. – 1989. – № 124. – P. 249 – 255.
4. Nucleotide sequence of beet necrotic yellow vein virus RNA-1 / Bouzoubaa S., Quillet L., Guille H. [et al] // J. Gen. Virol . – 1987. – № 68. – P. 615 – 626.
5. Two proteins encoded by beet necrotic yellow vein virus RNA 3 influence symptom phenotype on leaves / Jupn, I., Guille, H., Richards, K. E. [et al] // E.M.B.O. J. – 1992. – № 11. –P. 479 – 488.
6. Virus Taxonomy: The Classification and Nomenclature of Viruses / Fauquet C.M., Mayo M.A., Maniloff J. [et al] // The Eighth Report of the International Committee on Taxonomy of Viruses (book)]. – San Diego, CA. USA.: Elsevier Academic Press., 2005. – P. 1162.
7. Web-сайт «Multiple sequence alignment by Florence Corpet»: [Електронний ресурс]. – Режим доступу: multalin.toulouse.inra.fr/multalin/.
8. Web-сайт «Primer3 web version 4.0.0 Pick primers from a DNA sequence»: [Електронний ресурс]. – Режим доступу: primer3.ut.ee/.
9. Web-сайт «National Center for Biotechnological Information»: [Електронний ресурс]. – Режим доступу:

ПЦР ИДЕНТИФИКАЦИЯ РНК-3 УКРАИНСКОГО ИЗОЛЯТА ВИРУСА НЕКРОТИЧЕСКОГО ПОЖЕЛЕТЕНИЯ ЖИЛОК СВЕКЛЫ

ГРИНЧУК К. В., АНТИПОВ И. А.

Проведен биоинформационный анализ нуклеотидных последовательностей РНК-3 изолятов вируса некротического пожелтения жилок свеклы (ВНПЖС). Показаны консервативные последовательности гена, который кодирует протеин Р25 ВНПЖС и разработан дизайн праймеров для идентификации РНК-3 ВНПЖС.

Оптимизирована ПЦР система идентификации РНК-3 ВНПЖС по температурным показателям отжига праймеров.

Ключевые слова: вирус некротического пожелтения жилок свеклы, полимеразная цепная реакция, идентификация, ген, праймер

RNA-3 PCR IDENTIFICATION OF UKRAINIAN ISOLATE OF BEET NECROTIC YELLOW VEIN VIRUS

K. GRYNCHUK, I. ANTIPOV

The bioinformatic analysis of the nucleotide sequences of RNA-3 virus isolates of beet necrotic yellow vein (BNYVV) was made. The conserved sequences of a gene that encodes a protein 25 have been shown. Primers design for identification of RNA-3 has been made. The PCR system for RNA-3 identification was optimized by temperature rates of primer annealing.

Key words: *beet necrotic yellow vein virus, polymerase chain reaction, identification, gene, primer*